

## КОЭФФИЦИЕНТЫ ИЗЛУЧЕНИЯ ПЛАЗМЫ ВОДОРОДА ВБЛИЗИ ПОРОГОВ СПЕКТРАЛЬНЫХ СЕРИЙ

К. Л. СТЕПАНОВ, Л. К. СТАНЧИЦ

Институт тепло- и массообмена АНБ, 220072, Минск, Бровки 15, Беларусь

**Аннотация.** Приведены расчеты эволюции спектров излучения водородной плазмы вблизи порога бальмеровской серии при повышении электронной концентрации. Даётся сопоставление экспериментальных данных и расчетов в широком диапазоне параметров плазмы.

### 1. ВВЕДЕНИЕ

Спектральные линии водорода при приближении к границе серии становятся все более широкими, перекрываются и постепенно переходят в континуум. При малых параметрах неидеальности слияние высших членов серий определяет кажущийся сдвиг границы рекомбинации в длинноволновую область. С ростом неидеальности область влияния ее оказывается соизмеримой с протяженностью серии. Существует две основные гипотезы об эволюции спектра с увеличением параметра неидеальности. Согласно первой (Виберман, Гурович, Севастяненко) (принцип спектроскопической устойчивости) рост микрополя вызывает уширение и слияние линий в квазиконтинуум, который переходит в истинный континуум с сохранением плотности сил осцилляторов. Согласно другой гипотезе (Кобзев, Куриленков, Vučković) искажение внутриатомного потенциала в микрополе плазмы приводит к нереализации верхних уровней атома вблизи порога фоторекомбинации. При этом распределение интенсивности вблизи порога имеет провал. Ниже приводится сравнение опытных данных с результатами расчетов по этим двум моделям влияния микрополя плазмы на ее оптические свойства.

### 2. ТЕОРИЯ

Во внешнем электрическом поле возможен процесс спонтанной ионизации атома (автоионизация). При этом распад состояния  $m$  идет по двум каналам: радиационный переход на нижний уровень  $n$  и безизлучательный подбарьерный переход. Конкуренция этих процессов ведет к ослаблению спектральной линии с коэффициентом ослабления пропорциональным  $A_{mn}/(A_{mn} + S_m(F))$ . Когда величина  $S_m(F)$  окажется  $\sim 10^2 A_{mn}$ , спектральная линия исчезает. Если при этом  $S_m(F) \ll 1$ , справедлива теория возмущений, и энергетический уровень квазистационарен. С ростом поля  $S_m(F)$  возрастает и происходит обрезание уровня. Можно ввести средний по серии, начинаяющейся с нижнего уровня  $n$ , коэффициент ослабления линейчатого излучения на частоте  $\omega$ :

$$j_n(\omega, F) = \frac{A_{mn}}{A_{mn} + S_m(F)} \quad (1)$$

$$A_{mn} = \frac{16}{3\pi\sqrt{3}} \alpha^3 \frac{Ry}{\lambda} \frac{1}{m^3(m^2 - n^2)} \quad m = \sqrt{\frac{Ry}{Ry/n^2 - \lambda\omega}}$$

Коэффициент ослабления (1) необходимо осреднить по распределению штарковского микрополя  $W(F)$  в плазме (Hooper). Поскольку  $j \approx 1$  при  $F < F^*$

и  $j \propto 0$  при  $F > F^*$ , где величина критического поля для данной частоты (квантового числа  $m$ ) примерно равна

$$F_m^* = \frac{e}{a_0^2} \frac{1}{16m^4}, \quad (2)$$

коэффициент ослабления оказывается равным

$$j_n(\omega) = \int_0^\infty j_n(\omega, F) W(F) dF = \int_0^{F_0^*} W(F) dF = \int_0^{F_0^*} W(\beta) d\beta \quad (3)$$

В (3)  $\beta = F/F_0$ ,  $F_0 = 2.603eN_i^{2/3}$  – "нормальная" напряженность поля в плазме по Хольцмарку,  $N_i$  – концентрация ионов. С учетом ослабления контур спектральной линии имеет вид:

$$J_{mn}(\omega) = J_{mn}^0(\omega) j_n(\omega) \quad (4)$$

где  $J_{mn}^0(\omega)$  – рассчитанный при совместном действии электронов и ионов контур (Грим), в котором автоионизация не учтена.

Согласно принципу спектроскопической устойчивости, части контуров, соответствующие полям  $F > F^*$ , образуют квазиконтинуум. При этом эффективное сечение фоторекомбинации, усредненное по распределению микрополей, в интервале  $\omega, \omega + d\omega$  есть

$$\sigma_n(\omega) = \sigma_n^0(\omega) \left[ 1 - \int_0^{F_0^*} W(\beta) d\beta \right] \quad (5)$$

где  $\sigma_n^0(\omega)$  – сечение, аналитически продолженное в допороговую область.

Микрополе плазмы приводят к ограничению электронной статистической суммы и поправкам к статистическому весу уровня (Гурович, Севастьяненко)

$$j_n = \int_0^{F_0^*} W(\beta) d\beta \quad (6)$$

Величина  $F_n^* \sim n^{-4}$  монотонно убывает при возрастании квантового числа  $n$  и быстро стремится к нулю.

При вычислении спектральных характеристик излучения плазмы водорода тормозной спектр определялся в квазиклассическом приближении Крамерса с поправками Гаунта, для фоторекомбинационного континуума применялись точные формулы иерархистского дипольного приближения Штоббе, контура спектральных линий задавались табличными данными Грима, представляющими результат совместного действия электронного уширения и штарковского расщепления, усредненного по распределению микрополей.

Пример расчета излучения водорода вблизи порога бальмеровской серии, в котором учтено растворение спектральных линий и допороговая рекомбинация, представлен на рис.1 (параметр ионизации  $a = r_0/D = 0.525$ , где  $r_0$  – среднее межчастичное расстояние,  $D$  – дебаевский радиус). Здесь же приведены экспериментальные данные (Behringer). Видно, что между ними имеется хорошее соответствие.

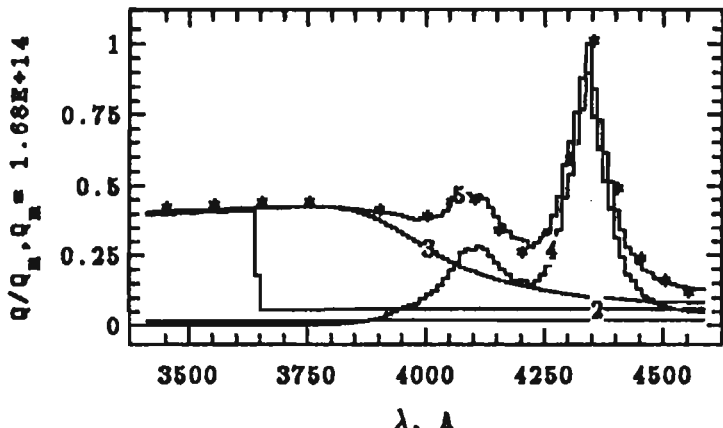


Рис.1. Коэффициент излучения водорода с параметрами  $T = 16250 \text{ K}$ ,  $N_e = 1.7 \cdot 10^{17} \text{ см}^{-3}$ . 1 - totальное излучение; 2 - непрерывный идеальный спектр; 3 - непрерывное излучение с учетом растворения линий и донороговой рекомбинации; 4 - излучение спектральных линий с учетом их растворения; 5 - полный коэффициент излучения. \* - эксперимент (Вейлдегер)

При возрастании параметра неидеальности экспериментальные данные по излучению в области идеального порога оказываются ниже расчетных значений, полученных в приближении слабой неидеальности. Рассмотрим влияние на пришпоровое поведение спектров статистического размытия порога фоторекомбинации в плазменном микрополе. В постоянном в пределах атома электрическом поле напряженностью  $F$  сдвиг порога ионизации можно оценить по формуле Уизольда

$$\Delta E(F) = 2c\sqrt{eF} \quad (7)$$

Интенсивность фоторекомбинационного континуума при рекомбинации на уровень с главным квантовым числом  $n$  связана с сечением фотоионизационного поглощения  $\sigma_n^{bif}$  и населенностью этого уровня  $N_n$  соотношением

$$J_n(\nu) = \frac{8\pi h\nu^3}{c^2} \exp\left(-\frac{h\nu}{kT}\right) N_n \sigma_n^{bif}(\nu) \quad (8)$$

Отсюда интенсивность испускания на частоте  $\nu$  в поле  $F$  равна (Vučinović)

$$J_n(\nu, F) = \begin{cases} J_0 g_{bif} N_e N_n n^{-3} T^{-3/2} \exp\left[-\frac{h\nu - (E_n - \Delta E_n)}{kT}\right], & h\nu \geq E_n - \Delta E_n(F) \\ 0, & h\nu < E_n - \Delta E_n(F) \end{cases} \quad (9)$$

где  $E_n$  – энергия ионизации уровня,  $g_{bif}$  – фактор Гаунта для связанных свободных переходов,  $J_0 = 2.146 \cdot 10^{-32} \text{ эрг см}^3 \text{град}^{3/2}$ .

Осредняя выражение (9) по распределению микрополей  $W(F)$ , получим

$$J(\nu) = J_0 g_{bif} \frac{N_e N_n}{n^3 T^{3/2}} \exp\left[-\frac{h\nu - E_n}{kT}\right] \int_{\beta_*}^{\infty} W(\beta) \exp(-q\beta^{1/2}) d\beta \quad (10)$$

Параметр  $q = 3.23e^2 N_i^{1/3} / kT$ ,  $\beta = F/F_0$ , граничная напряженность поля определяется условием  $\Delta E_n(F_*) = E_n - h\nu$ , т.е. зависящее от частоты минимальное поле  $\beta_*$  имеет вид

$$\beta_* = \begin{cases} \left( (E_n - h\nu) / (3.23e^2 N_i^{1/3}) \right)^2, & h\nu < E_n \\ 0, & h\nu \geq E_n \end{cases}. \quad (11)$$

Отметим, что выражение в (10) зависит от параметра неидеальности. Под интегралом стоит величина

$$W(\beta) \exp \left[ -2\sqrt{2\pi} / (3(5\pi)^{1/3}) \left( \frac{r_0}{D} \right)^2 \sqrt{\beta} \right], \quad (12)$$

где  $r_0 = [3/(4\pi N_i)]^{1/3}$ ,  $D = [kT/(4\pi e^2 N_i)]^{1/2}$ . Вследствие этого (10) с ростом  $r_0/D$  убывает как с коротковолновой стороны от порога рекомбинации (здесь  $\beta_* = 0$ ), так и с длинноволновой стороны, где  $\beta_* > 0$ .

Сравнение экспериментальных данных и расчета по (10)–(12) для более высоких значений  $N_e$  (параметр неидеальности  $a = r_0/D = 0.633$ ) представлено на рис.2.

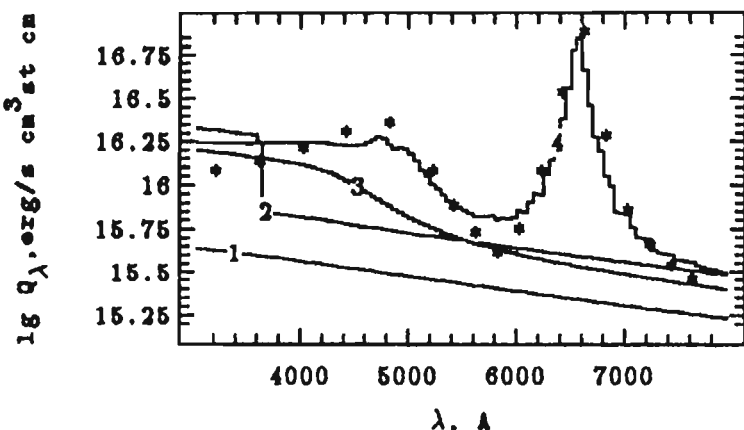


Рис.2. Коэффициент ионизации водорода с параметрами  $T = 32000 K$ ,  $N_e = 4 \cdot 10^{18} \text{ см}^{-3}$ . 1 – тормозное излучение; 2 – непрерывный идеальный спектр; 3 – непрерывное излучение с учетом статистического размытия порога рекомбинации; 4 – полный коэффициент излучения. \* – эксперимент (Гаррикса)

Видно, что и в этом случае имеет место хорошее согласие расчетов и эксперимента в большей части спектра.

#### Литература

- Baieriger K.: 1971, Ze. Phys. 246, 333.  
 Биберасов Л.М., Норасы Г.Ф.: 1967, УФН, 91, 193.  
 Гаррикса В.В., Гаррикса Т.В., Федорова Т.Н.: 1967, 7 Всес. конф. по физике магнетика. Извл. №2, 32.  
 Григор Г.: 1978, Унирекции спектральных линий в плазме.  
 Гуревич В.Ц., Бенгельман В.С.: 1972, ЖЭТФ, 72, 444.  
 Ноорер С.Р.: 1968, Phys. Rev. 165, 215.  
 Кобзев Г.А., Курмаков Ю.К.: 1960, ТВТ, 16, 458.  
 Оваштымбетов В.Г.: 1960, Докт.диссертация, Новосибирск.  
 Вајлошић V. J.: 1970, JQSRT, 10, 929.